

# 基于SBAS-InSAR的G207双牌段地质灾害监测

# 陈勇国1 麻红军2 李 松1 孙湘艳1

- 1. 湖南科技学院 土木与环境工程学院 湖南永州 425199
- 2. 南京信息工程大学 遥感与测绘工程学院 江苏南京 210044

【摘 要】G207双牌段途径丘陵山岗等地区,岩性以浅变质岩、石灰岩、板岩和碎屑岩为主,雨季容易发生地质灾害,造成道路堵塞,威胁行人行车安全。提前对灾害进行监测和防治能够有效减少灾害带来的损失,基于此, 2018年10月9日至2020年4月1日的31景sentinel-1A影像数据,采用SBAS-InSAR技术获取了G207国道双牌段沿线的形变信息,根据形变信息对公路地质灾害进行监测。本次研究共监测出了21处潜在地质灾害,根据历史灾害数据验证,监测结果有着比较好的准确性,其中形变速率最大的地区可达到-40.46mm/年。本次研究表明了SBAS-InSAR技术在公路地质灾害中能够进行有效的监测,此方法可为防灾减灾事业及政府相关部门决策提供有效的信息。

【关键词】地质灾害监测; sentinel-1A卫星; SBAS-InSAR

【基金项目】湖南科技学院科学研究项目(21XKY050); 永州市指导性科技计划项目(2022-YZKJZD-004)

## 引言

G207是贯通永州市南北的交通要道,其中双牌路段沿线 地质条件复杂,区域内岩性有浅变质岩、板岩、石灰岩和 碎屑岩等,雨季易发生滑坡、坍塌、落石等地质灾害,造成 断路,威胁行车行人安全。因此,急需对该路段的道路灾 害进行监测及其防护,以确保道路畅通及行人安全。

地质灾害发生通常伴随着地表形变,对地表形变进行研究可为灾害监测提供信息[1]。目前,传统的地质灾害监测手段有精密水准仪,裂缝计,GPS监测站等,这些方法虽然监测精度高,但只能基于少量离散点进行局部的监测,而且需要定期复测,效率低,难以在短时间内获取大范围详细的地表形变,且易受外界条件制约。与传统手段相比,合成孔径雷达差分干涉测量技术(InSAR)可以非接触、全天时、全天候的对整条公路获取地面毫米级形变信息[2]。目前,国内利用InSAR技术对地质灾害监测研究取得了一些成功范例:李晓恩等分析论证InSAR技术在监测地质灾害的应用与未来发展[3],论证了此方法在地质灾害监测中有着很好的可行性。周定义、闫怡秋等人利用SBAS-InSAR对滑坡灾害体进行识别分析,对灾害的防治具有重要作用[4-5]。冯文凯等应用 InSAR 技术监测滑坡地表形变,证实了该技术能广泛的应用于山区地质灾害监测[6]。

本文采用2018年10月至2020年4月的31景哨兵1A数据,

通过SBAS-InSAR技术进行数据处理,得到公路沿线两侧时序形变信息,综合公路沿线历史灾害点数据进行对比验证,发现SBAS-InSAR技术获取的较大形变区域与实际发生的灾害点高度吻合,表明该方法对隐患点的识别具有较好的效果,可为公路沿线地质灾害监测提供技术支撑。

# 1 研究区及方法

# 1.1 研究区概况

双牌县故称泷泊,位于湖南省南部,潇水中游,东经110°24′至110°59′、北纬25°36′至26°10′之间。 地势东西高,南北低。地形主要以山地为主,丘陵、岗地、平原兼备。年均气温17.6℃,年均降雨量1512.44mm,八成地区降雨量多于1500mm。乌兰浩特一海安公路,简称乌海线,为中国国家道路网的纵线之一,编号为G207国道,双牌县境内长度60公里,沿线沟壑纵横,公路越岭穿脊,途径塔山一号、塔山二号、婆婆殿一号、婆婆殿二号和司仙坳隧道。

## 1.2 实验数据

本次研究采用的SAR数据来源于欧空局(ESA)哥白尼数据开放中心(https://scihub.copernicus.eu/),总共下载了31景 C 波段 Sentinel-1A 升轨影像,极化方式VV,重访周期12天,时间跨度为 2018 年 10 月 4 日至2020年4月4日。为了提高影像轨道精度,本研究引入了POD 精密定轨星历



数据,同时还在地理空间数据云平台(http://www.gscloud.cn/)下载了 ASTER GDEM V3 30 m 空间分辨率的数字高程模型(DEM),用于去除地形相位影响。

# 1.3 研究方法

小基线集合成孔径雷达干涉测量(SBAS-InSAR)是一种时间序列InSAR分析方法,最早是由意大利学者Berardino等提出的<sup>[7]</sup>,该方法通过一段时间内的SAR影像进行干涉处理,利用相位差来获取地表形变信息,其优点是能够很好地克服空间、时间失相干的影响,并且去除大气延迟相位干扰。

## 2 数据处理

## 2.1 数据据预处理

将从欧空局下载的影像在软件中进行数据格式转换,导 入POD 精密定轨星历数据进行轨道校正,根据研究区域对影 像进行裁剪,得到初始数据。

## 2.2 SBA-InSAR处理

利用ENVI中的SARScape模块将预处理过后的数据进行 SBAS-InSAR处理,连接图生成过程参数设置时间基线阈值为 60天,共生成95个对。然后采用 Minimum Cost Flow解缠方 法对生成的干涉图进行解缠,在解缠后的干涉图上选择31个 GCP点进行轨道精炼,然后利用Goldstein 滤波方法除去大气影响。通过DEM辅助进行地形校正经地理编码后得到公路沿线地表形变结果(图1)。

地表年均形变速率图表示了该地区以年为单位的地表形变情况,通过该图可看出在国道的中间部分形变比较大,形变速率达到-40.46mm/年,主要分布在地形比较崎岖的部分。通过获取的形变信息结合光学影像目视解译,一共发现了21个潜在地质灾害发生地区,

## 3 结果分析

结合野外调研结果和历年地质灾害分布图,发现本次研究的监测结果与之吻合度较高,如图2所示。从中能够看到形变速率较大的地区都有不同程度的土地裸露,而且还具有一定的坡度。这是因缺少植被导致地表稳定性较差,加之陡峭的坡度,使得泥土容易滑动,特别是在雨季的时候容易发生崩塌、滑坡、泥石流等地质灾害。除此之外,在隧道出入口也存在着不同的形变,这是由于隧道的施工对地层结构造成了一定的破坏。

为了研究形变随着时间的变化过程,从中选取了4个

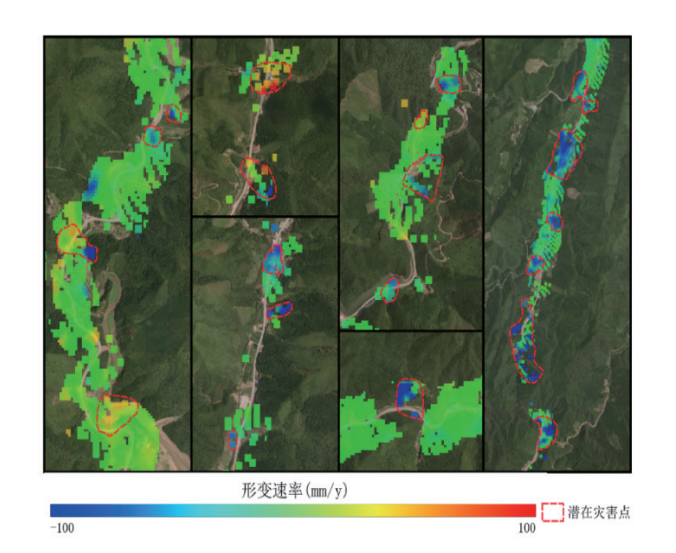


图1. SBAS-InSAR地表年均形变速率图

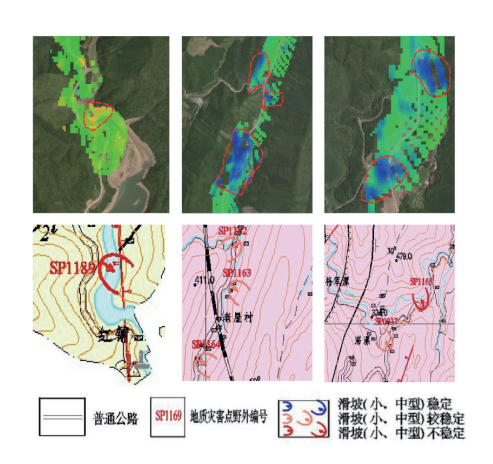


图2. 对比验证结果

点分别编号为A、B、C、D,利用时序分析工具绘制了2018年10月到2020年4月的累计形变曲线图,如图3所示。基于时间基线对形变信息分析,从整体上看,4个区域的形变趋势有着相似的特点,从2018年10月开始发生缓慢的形变,表现为沉降。其中,在2019年6月开始形变加速,到达2019年8月时,D区的沉降量可达到57.74mm。然后从2019年10月到2020年1月又趋于平缓,累积形变量分别达到-57.54mm、-50.34mm、-37.64mm、-58.8mm,在之后的2个月内形变开始转为抬升,而且形变速率又逐渐加快。

结合该地月均降雨情况分析,在2018年10月至2019年7 月降雨都比较充沛,其中降雨比较多的有2018年11月、12 月和2019年4月、7月。根据形变曲线结合降雨量分析,随 着降雨量增大,形变速率往往也在增大。2019年8月到2020 年1月这一段时间,月均降雨很少,形变速率也随之趋向平 缓。到了2020年2月,降雨开始增加,至2020年3月降雨量



达到607.16mm, 形变速率又随之增加, 但是该时间的形变 表现为抬升, 推测是剧增的降雨会补充一定的地下水导致 地表开始抬升。

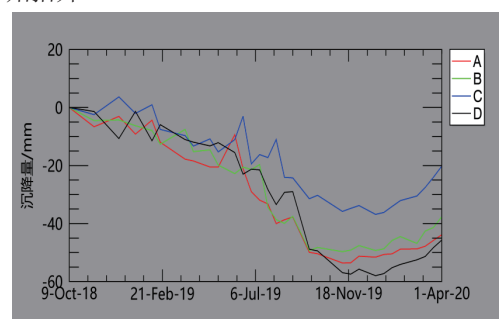


图3. A、B、C、D点时序形变

#### 4 结束语

针对G207国道双牌段地质构造复杂、地质灾害频发, 实地监测费时费力等特点,本文通过31景哨兵一号影像数据,采用SBAS-InSAR技术获取G207国道双牌段沿线的形变信息,对公路地质灾害进行监测,得出以下结论:

- (1)在2018年10月9日到2020年4月1日,G207国道双牌段沿线都有不同程度的形变,其中形变最严重的是道路的中部,雷达视线向形变速率可达到-40.46mm/年。
- (2)根据获得的形变信息,结合高分辨率光学遥感影像解译,共监测出21处潜在地质灾害点,监测的结果与历史灾害数据有着很好的一致性。
- (3)结合降雨数据分析可得,地表形变速率与降水量有着密切的联系,大多数时降雨与形变速率呈正比例关系, 尤其在降水集中的季节,地质灾害发生比较频繁。

研究发现,降雨是诱发地质灾害的发生的因素之一,地 表的累积沉降量跟降雨存在一定的关系。突发的强降雨会 使地表土壤松软而被冲刷,导致地表形变加剧,从而引发 公路地质灾害。因此,需要加强易发生灾害地段公路边坡 的硬化工程,修建好排水设施,减少灾害的发生。

# 5 致谢

感谢欧空局(ESA)哥白尼数据开放中心免费提供的SAR

数据和地理空间数据云平台共享的DEM数据,让本次研究能够获得数据去进行SBAS-InSAR处理,得到地质灾害隐患监测结果,从而完成本篇论文,我们表示由衷的感谢。

#### 参考文献:

- [1] 王之栋, 文学虎, 唐伟, 刘晖, 王德富. 联合多种InSAR 技术的龙门山-大渡河区域地灾隐患早期探测[J]. 武汉大学 学报(信息科学版), 2020, 45 (03): 451-459.
- [2] 余绍淮, 徐乔, 罗博仁. 时序 InSAR技术在山区公路遥感地质勘察中的应用 [J]. 公路, 2021, 66 (10): 251-257.
- [3] 李晓恩, 周亮, 苏奋振, 吴文周. InSAR技术在滑坡灾害中的应用研究进展[J]. 遥感学报, 2021, 25(02): 614-629.
- [4]周定义, 左小清, 喜文飞, 肖波, 毕瑞, 范馨. 基于SBAS-InSAR技术的深切割高山峡谷区滑坡灾害早期识别 [J/0L]. 中国地质灾害与防治学报: 1-9[2021-11-03]. http://kns.cnki.net/kcms/detai1/11. 2852. P. 20210902. 1715. 002. html.
- [5] 闫怡秋,郭长宝,张永双,张绪教,郑岳泽,李雪,杨志华,吴瑞安.基于SBAS-InSAR技术的西藏雄巴古滑坡变形特征[J/OL].地质学报:1-15[2021-11-03].https://doi.org/10.19762/j.cnki.dizhixuebao.2021195.
- [6] 冯文凯, 顿佳伟, 易小宇, 张国强. 基于SBAS-InSAR技术的金沙江流域沃达村巨型老滑坡形变分析[J]. 工程地质学报, 2020, 28(02): 384-393.
- [7] Berardino P, Fornaro G, Lanari R, et al. A new algorithm for surface deformation monitoring based on small baseline differential SAR interferograms [J]. IEEE Transactions on Geoscience and R emote Sensing, 2002, 40(11):2375 2383.
- [8] 周华云, 赵林, 田黎明, 吴振明, 谢梅珍, 原黎明, 倪杰, 乔永平, 高泽深, 史健宗. 基于Sentinel-1数据对青藏高原五道梁多年冻土区地面形变的监测与分析[J]. 冰川冻土, 2019, 41 (03): 525-53.